

Tuteur : Mohand BOUGHANEM

Adrien MARQUÈS
4 avril - 17 juin 2016

Annexes

Conception et développement d'une plateforme d'acquisition et de traitement de données relationnelles



LISST – UMR 5193
Université Toulouse II - Le Mirail
Maison de la Recherche
5, allées Antonio-Machado
31058 TOULOUSE Cedex 9

Table des matières

Note : Ce document adopte la même structure que le rapport de stage afin de s'y retrouver plus facilement et pour la cohérence de la lecture.

1 Introduction

2 Contexte de recherche dans un laboratoire de sociologie

3 Analyse et conception

3.1 Objectifs du projet

3.1.1 Module d'optimisation réseau

3.1.2 Charte graphique et conception graphique

4 Développement et organisation

5 Conclusion

6 Bilan technique et personnel

Bibliographie

Figure 2.1-1 Organisation du LISST

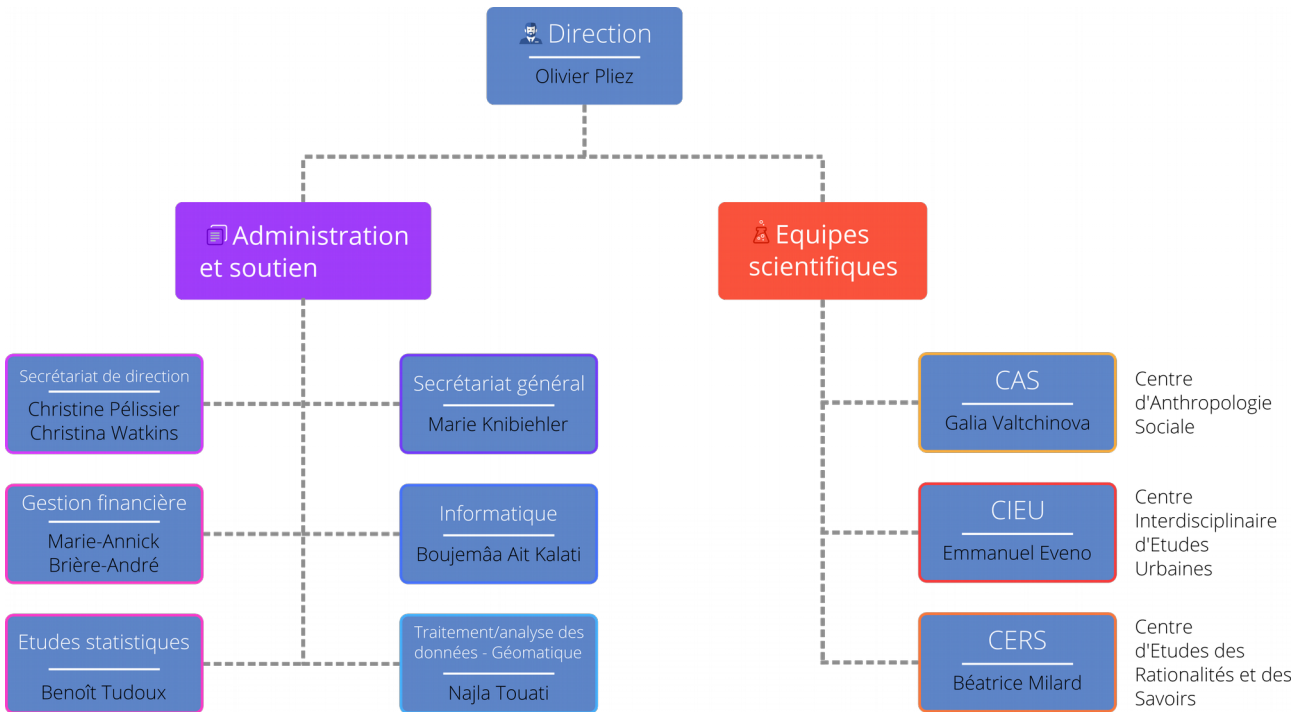


Figure 2.1-2 Description officielle de l'équipe LISST-CERS

Le CERS constitue l'équipe de sociologie fondamentale du LISST. Au-delà de tous les projets et activités dans lesquels les sociologues de l'équipe sont engagés aux côtés de leurs collègues du laboratoire (voir les axes du LISST), le CERS effectue un travail spécifique de sociologie qui se fonde sur des choix théoriques et épistémologiques : une sociologie soucieuse d'éviter toutes les formes de naturalisation du monde social, attentive à la pluralité des logiques d'action, et capable de mobiliser de façon cohérente des courants théoriques distincts mais rendus partiellement compatibles par leur insertion dans un cadre épistémologique plus général fondé sur l'articulation des échelles d'analyse.

Ce travail s'effectue dans le cadre d'activités de séminaire (« journée du Cers », « journées des doctorants », « séminaire du Cers ») et de recherches sur des thèmes émergents ou sur des aspects théoriques et méthodologiques liés à la discipline.

Figure 2.2-1 Organigramme des services communs de l'IRIT

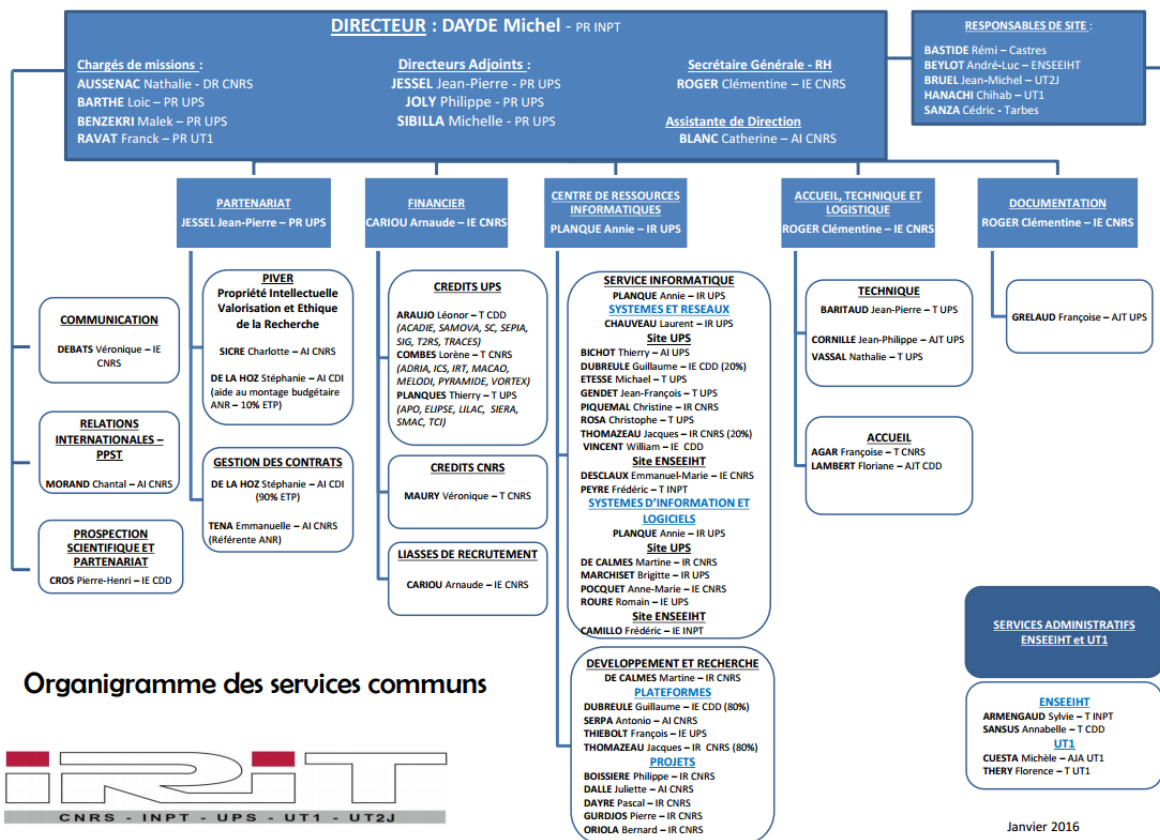


Figure 2.2-2 Organigramme de la Recherche à l'IRIT (équipes et axes)

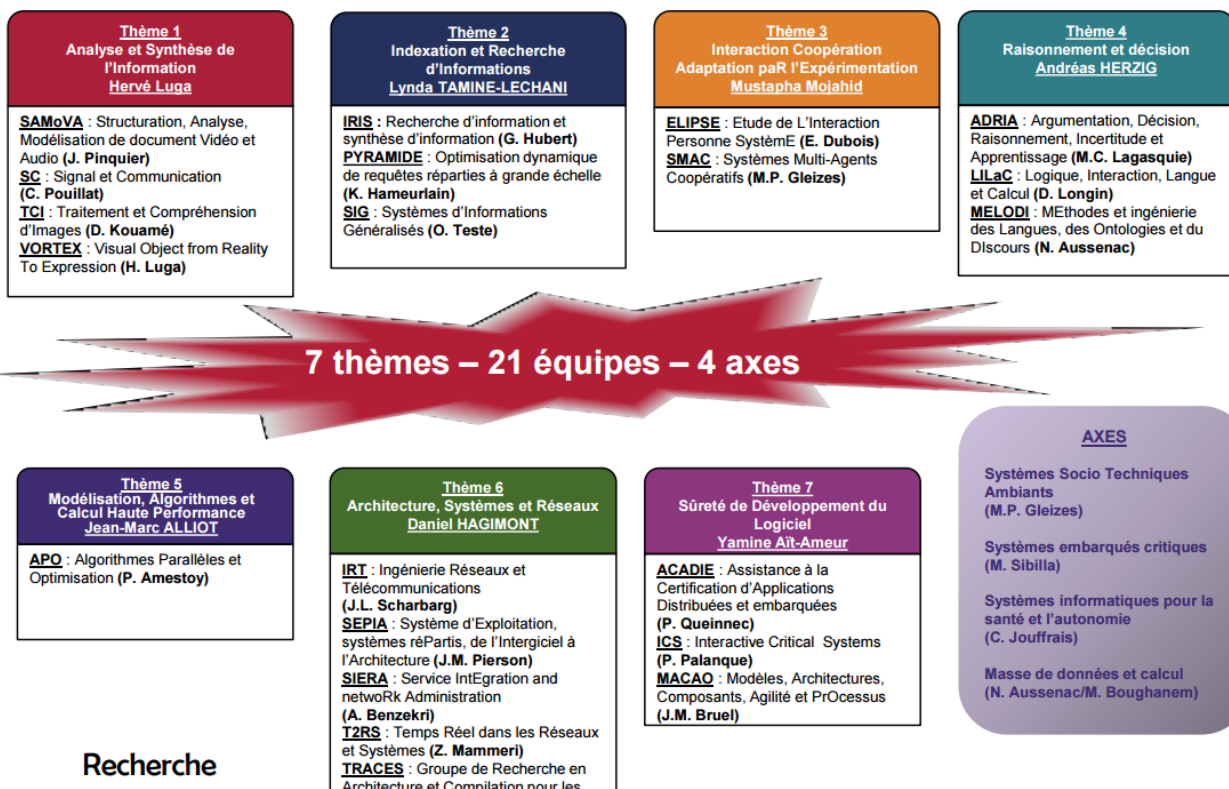


Figure 2.5-1 Exemples de graphiques issus de Gephi

Sociogramme égocentré (betweenness centrality)

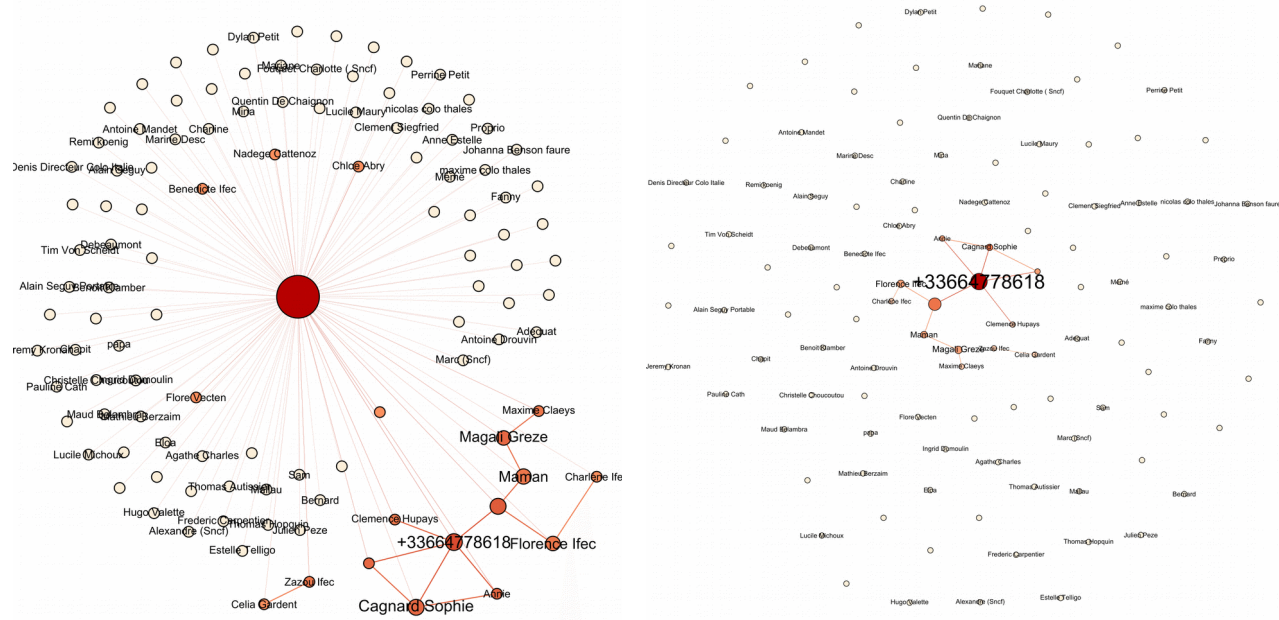


Figure 2.5-2 Diagramme Gantt

Figure 2.5-3 Tâches

Tâches		Début	Terminé	Travail	Etat d'avancement
1	Analyse et Conception				
1.1	Analysé le système	Apr 4	Apr 11	18d 6h	
1.2	Solutions techniques	Apr 4	Apr 7	5d	100%
1.3	Conception base de données	Apr 5	Apr 11	7d 4h	100%
2	Version 0.1				
2.1	Version 0.1.1 - Structure de base	Apr 8	Apr 15	1d 4h	
2.1.1	Choix charte graphique	Apr 8	Apr 12	4d 4h	100%
2.1.2	Structure de base du site	Apr 9	Apr 12	4d	100%
2.1.3	Choix réseau et optimisation	Apr 11	Apr 13	3d 6h	100%
2.2	Version 0.1.2 - Utilisateurs, Sécurité	Apr 14	Apr 15	1d 6h	
2.2.1	Gestion base de données	Apr 14	Apr 14	4h	100%
2.2.2	Prototype interface	Apr 14	Apr 14	4h	100%
2.2.3	Implémentation du système complet	Apr 14	Apr 15	6h	100%
3	Version 0.2	Apr 15	May 6	24d	
3.1	Analysé des journaux d'appels	Apr 15	Apr 16	1d 2h	100%
3.2	Parseage 0.1	Apr 16	Apr 18	1d 2h	100%
3.3	Parseage 1.0	Apr 18	Apr 19	1d 2h	100%
3.4	Prototype interface + choix ergonomiques	Apr 19	Apr 22	3d 6h	100%
3.5	Conception du formulaire dynamique	Apr 22	Apr 24	2d 4h	100%
3.6	Implémentation du formulaire dynamique 100%	Apr 25	May 2	9d	100%
3.7	Prolongations : modifications	May 3	May 6	5d	100%
4	Version 0.3	May 7	May 19	17d 2h	
4.1	Conception format de sortie	May 7	May 9	2d 4h	100%
4.2	Choix du format de fichier compatible	May 7	May 9	2d 4h	100%
4.3	Implémentation de l'export	May 9	May 12	4d	100%
4.4	Conception d'un système d'accès optimisé	May 13	May 14	1d 5h	
4.4.1	Conception système d'accès	May 13	May 13	5h	100%
4.4.2	Implémentation système d'accès	May 13	May 13	3h	100%
4.4.3	Benchmark système d'accès	May 13	May 14	5h	100%
4.5	Adaptation au nouveau système	May 14	May 16	1d 2h	100%
4.6	Modification suite à entrevue	May 16	May 19	5d 3h	
4.6.1	Conception	May 16	May 17	1d 2h	100%
4.6.2	Prototype interface	May 17	May 18	1d 2h	100%
4.6.3	Modification interne	May 17	May 19	2d 7h	100%
5	Version 0.4	May 19	May 26	8d 2h	
5.1	Conception	May 19	May 20	1d 3h	100%
5.2	Prototype-implémentation graphique #1	May 20	May 21	7h	100%
5.3	Prototype-implémentation graphique #2	May 21	May 22	7h	100%
5.4	Prototype-implémentation graphique #3	May 22	May 23	7h	100%
5.5	Prototype-implémentation graphique #4	May 23	May 23	7h	100%
5.6	Prototype-implémentation graphique #5	May 24	May 24	7h	100%
5.7	Prototype-implémentation graphique #6	May 24	May 25	7h	100%
5.8	Prototype-implémentation graphique #7	May 25	May 26	7h	100%
5.9	Prototype-implémentation graphique #8	May 26	May 26	7h	100%
6	Version 0.4.1	May 26	Jun 1	7d 4h	
6.1	Conception réseau	May 26	May 27	1d 2h	100%
6.2	Prototype svg réseau	May 27	May 29	1d 2h	20%
6.3	Etude force atlas	May 29	May 30	1d 2h	0%
6.4	Développement	May 29	Jun 1	3d 6h	5%
7	Version 0.4.2	Jun 1	Jun 9	8d 6h	
7.1	Conception du système d'interaction	Jun 1	Jun 3	2d 4h	0%
7.2	Implémentation du système	Jun 3	Jun 8	5d	0%
7.3	Adaptation aux graphiques existants	Jun 8	Jun 9	1d 2h	0%
8	Version 0.5	Jun 9	Jun 13	3d 6h	
8.1	Création automatique de compte	Jun 9	Jun 10	1d 2h	0%
8.2	Système de modifications (imitation)	Jun 10	Jun 11	1d 2h	0%
8.3	Système de non-écrasement des données	Jun 11	Jun 13	1d 2h	0%
9	Version 0.6 - Debug+itération -1	Jun 13	Jun 23	12d 4h	0%

Figure 3.1.1-1 Schéma de fonctionnement du module d'optimisation réseau

Ci-dessous le schéma du fonctionnement du module d'optimisation réseau.

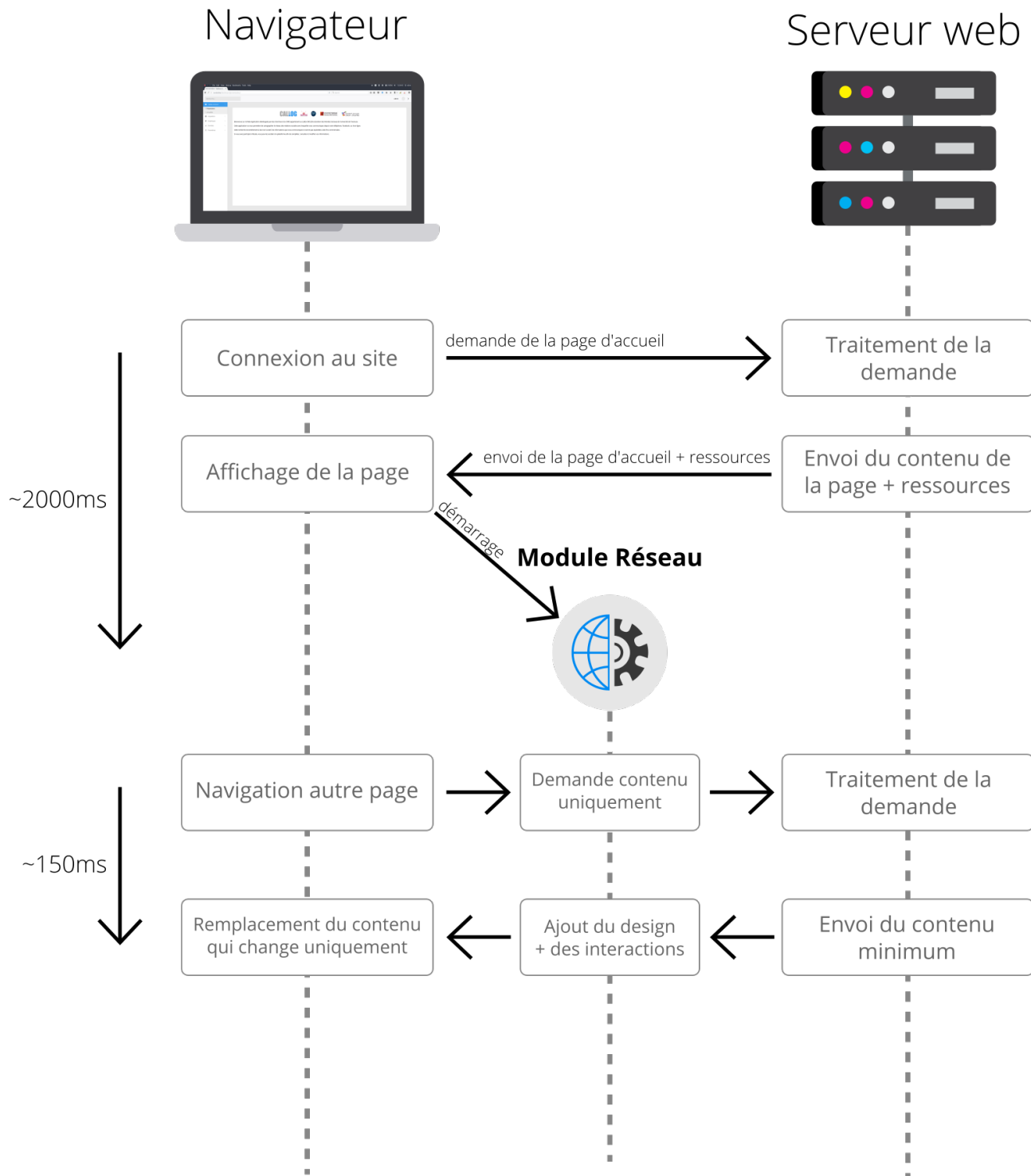
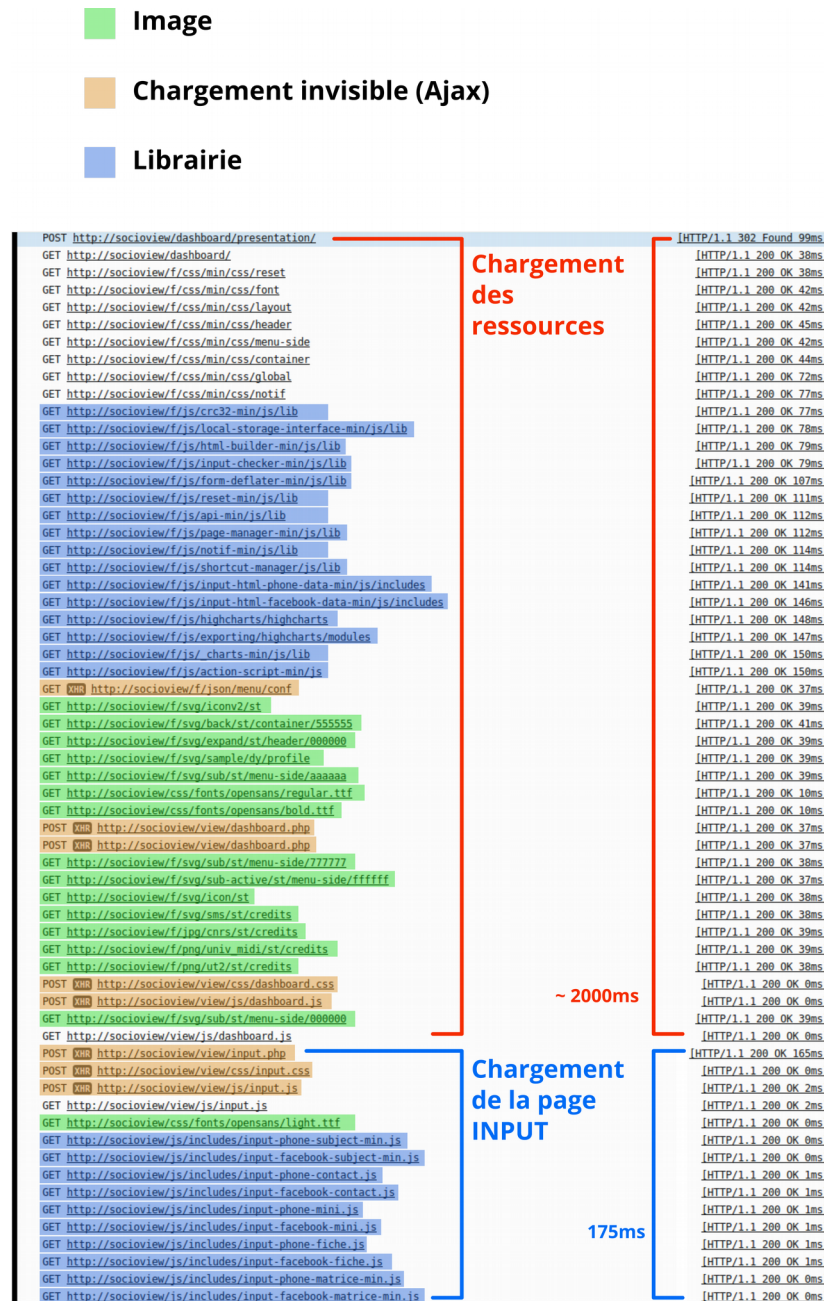


Figure 3.1.1-2 Analyse réseau détaillée

Ci-dessous la liste des fichiers chargés lors du chargement du site (en rouge), puis, ceux chargés lors de la navigation sur la page acquisition (en bleu).

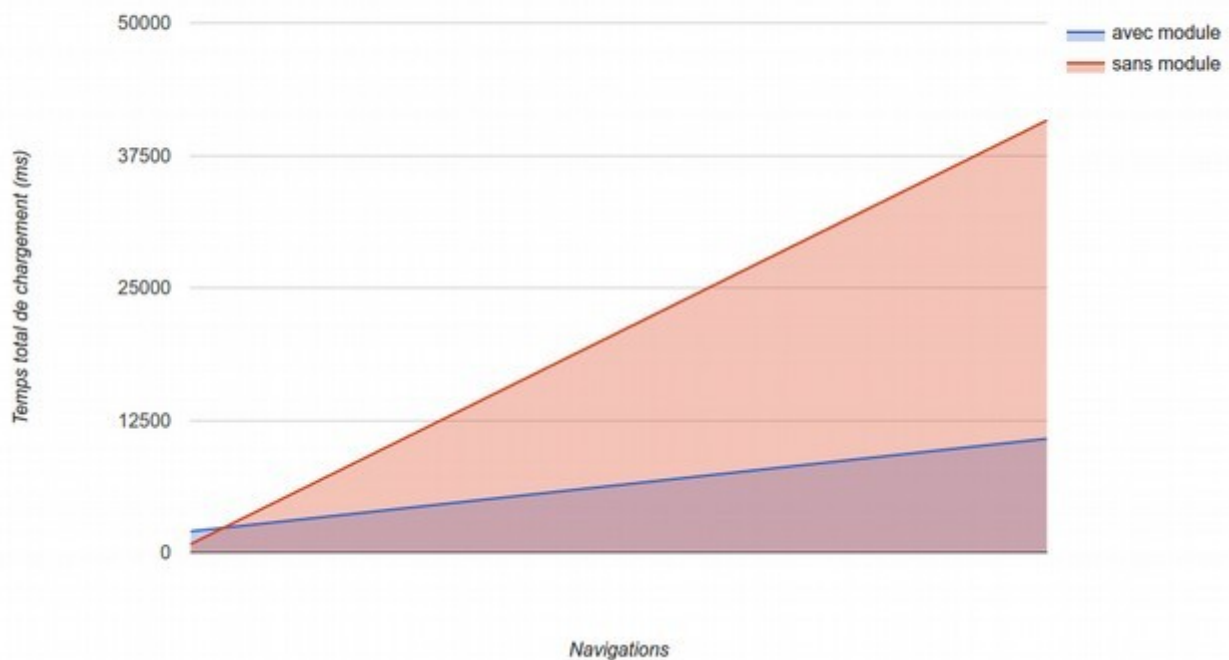


On remarque que le chargement du système complet prends aux alentours de 2 secondes, puis le chargement de chaque page est infime, de l'ordre de 0.175 secondes.

Note : La page acquisition (INPUT) est la plus conséquente du site car elle charge des librairies très lourdes (surlignées en bleu) pour gérer le nombre important d'interactions disponibles sur cette page. La page la plus lourde du site permet ainsi d'avoir une analyse avec approximation majorée.

Figure 3.1.1-3 Comparatif de vitesses de chargement

On peut voir sur le graphique ci-dessous l'efficacité de ce système (en bleu), comparé à un système normal (en rouge). Pour cela, nous avons supposé 0.8 secondes pour le chargement d'une page, bien que la moyenne en France pour le chargement d'une page soit de 6 secondes (selon l'Observatoire GESTE). Cette approximation majorée permet de vérifier – même dans de très mauvaises conditions – que le système est efficace.



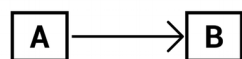
On remarque qu'à partir de 2 navigations (premier chargement inclus), le gain de temps est significativement supérieur à une utilisation normale.

3.1.2-1 Interactions et interconnexion du questionnaire

Vocabulaire du schéma	
Intitulé	Description
sujet	Formulaire permettant de sélectionner le sujet de l'enquête
contact	Champ de saisie d'un contact (pseudo et numéro de téléphone)
mini fiche	Fiche relation rapide à propos d'un contact (15 questions)
fiche	Fiche relation complète à propos d'un contact important (30 questions)
matrice	Matrice permettant de dire quel contact connaît quel(s) contact(s)

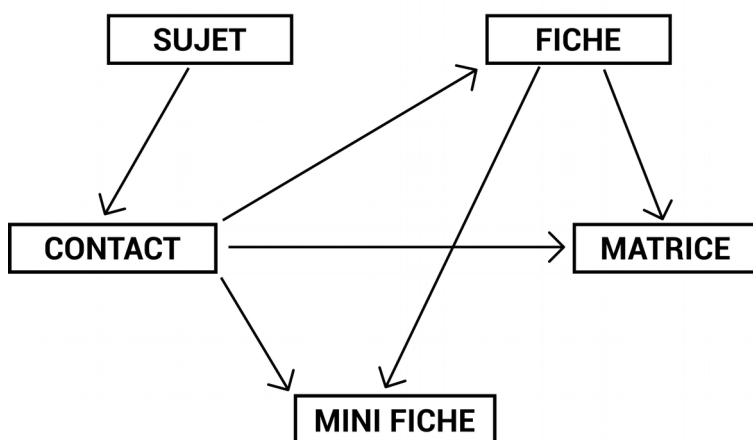
Ci-dessous le schéma d'inter-dépendance entre les entités.

Légende



B est lié à **A**

- si **A** change, **B** est mis à jour
- si **A** est créé, **B** est généré en fonction de **A**



Exemple pratique

Si on choisit un *contact* existant dans une autre enquête (soit George avec toutes ses données), on doit mettre à jour la *fiche* et la *mini fiche* pour récupérer les données de George. Ensuite la *matrice* devra se voir afficher le nom de George s'il y apparaît.

3.1.3-1 Documentation de l'API

The screenshot displays the NxTIC API documentation page. The top navigation bar includes the NxTIC logo, a 'Download API Blueprint' button, and links for 'Documentation' and 'Inspector'. On the right, there's a 'Sign In with Apify account' link. The main content area has a header 'NxTIC API' and a 'INTRODUCTION' section. Below it is a 'REFERENCE' section with a sidebar containing links for 'module', 'user', 'call_log', 'chart', 'token', 'subject', 'input', 'upload', and 'download'. The main content area also contains sections for 'Structure et fonctionnement', 'Paramètres', 'Réponses', and 'Types de données'. Each section provides detailed information and examples, often including tables or code snippets. A note at the bottom of the 'Réponses' section states: 'Note: Les paramètres URI ne correspondent pas aux paramètres URL. Ils servent à expliciter les paramètres et leurs types, et correspondent aux variables notées (nomVar) dans le corps de la requête.'

3.1.3-1 Apiary : une documentation interactive

Sur la capture ci-dessous, on peut voir dans le panneau de gauche, un « exemple » d'utilisation. Cela permet de savoir exactement ce que l'on doit envoyer, et ce que l'on doit recevoir. Il est possible en cliquant sur le bouton « Try » de lancer un test sur le site pour vérifier si tout fonctionne bien.

The screenshot shows the Apiary documentation interface for the NxTIC API. On the left, there's a sidebar with sections like INTRODUCTION, REFERENCE, and a DOWNLOAD button. The main area shows a list of endpoints under the 'subject' category:

- search**: Description: Recherche d'un sujet par nom. Permissions: admin. A red arrow points from this text to the label "Description de la fonctionnalité".
- getFriends**: Description: Retourne les informations de tous les contacts renseignés par un sujet d'enquête. Permissions: admin.
- getAll**: Description: Retourne les informations de tous les sujets. Permissions: admin.
- create**: Description: Crée un nouveau sujet. Permissions: admin.

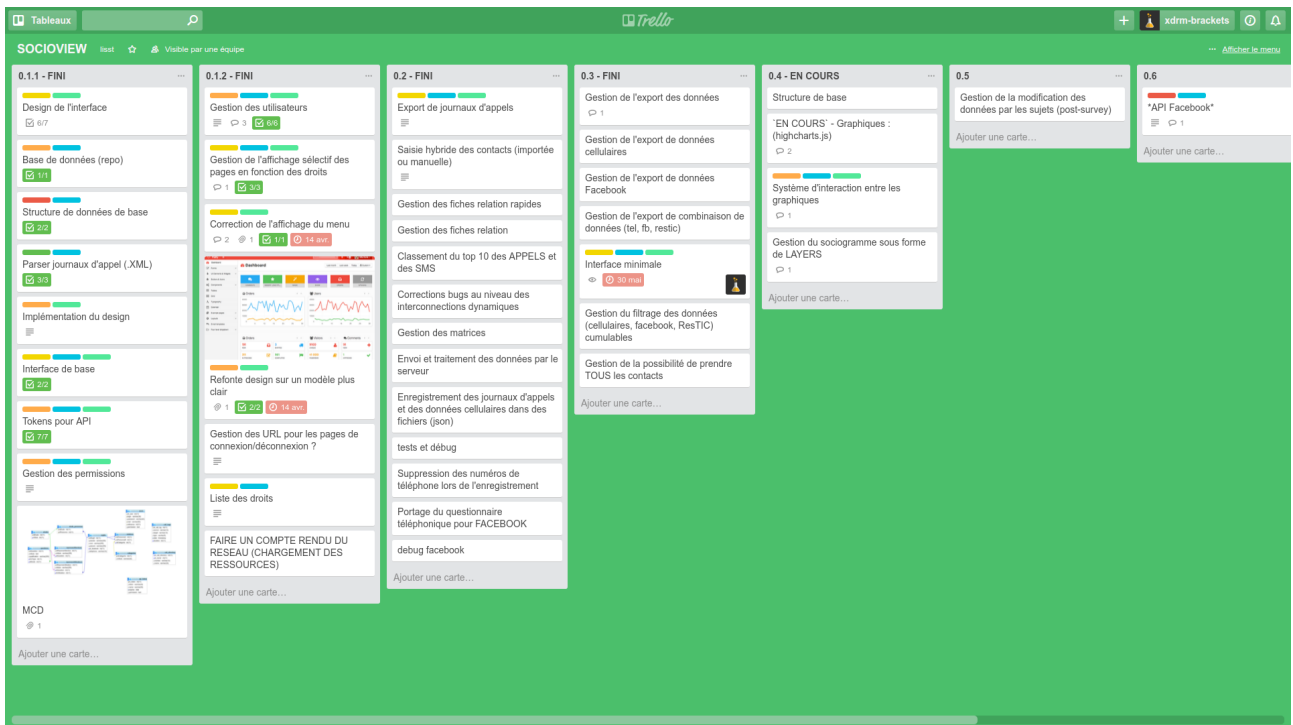
On the right, the 'search' endpoint is selected. The interface shows the following details:

- Request**: A red arrow points from the 'Request' section to the label "REQUETE". It includes fields for 'Parameters' (name) and 'Headers' (Content-Type: multipart/form-data; boundary=xxxBOUNDARYxxx, Authorization: Digest {yourAccessToken}, Cache-Control: no-cache). A 'Try' button is also present.
- Response**: A red arrow points from the 'Response' section to the label "RESPONSE". It shows a 200 status code, headers (Content-Type: application/json), and a JSON schema for the response body. The schema defines a 'results' array:

```
JSON SCHEMA
01 {
02   "results": @results
03 }
```

```
01 {
02   "results": @results
03 }
```

4.1.3-1 Tableau Trello



On peut voir sur le tableau Trello ci-dessus, qu'il est composé de plusieurs colonnes. Chaque colonne correspond à une version (étape) du développement. Et chaque étape est composée de tâches pouvant être complétées d'images, de commentaires, etc.

4.2.1-1 Liste des versions

Versio n	Sous-version	Libellé	%
0.1	0.1.0	Structure et base de la plateforme	
	0.1.1	Navigation et charte graphique	
	0.1.2	Sécurité et utilisateurs	
0.2	0.2.0	Acquisition des données	
	0.2.1	Prototype de l'interface et choix ergonomiques	
	0.2.2	Report du questionnaire RestIC	
	0.2.3	Contenu 100% dynamique	
	0.2.4	Corrections, optimisation et modifications	
	0.2.5	Supplément modifications	
0.3	0.3.0	Export des données	
	0.3.1	Format, mise en forme des données	
	0.3.2	Conception d'un système d'accès aux données	
0.4	0.4.0	Visualisation graphique	
	0.4.1	Réseau	
	0.4.2	Système d'interaction	
0.5	0.5.0	Modification par les sujets	
	0.5.1	Création automatique de compte	
	0.5.2	Restitution partielle des données et modification	
0.6	0.6.0	Récupération des données LabSurveys	
0.7	0.7.0	Pré-production	
	0.7.1	Refonte et nettoyage du design	
	0.7.2	Élaboration des tests unitaires	
	0.7.3	Optimisation du chargement	

Figure 4.2.1-1 Base de données

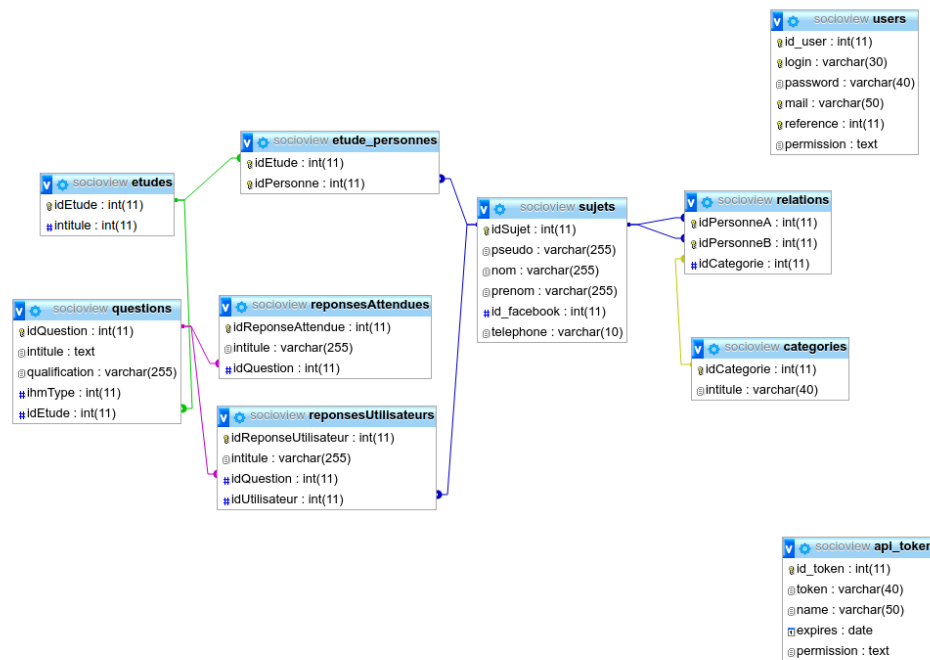


Figure 4.2.1-2 Premier prototype de la charte graphique

Le prototype de la charte graphique est divisé en deux sections principales :

- Section de gauche (Menu et sidebar) :**
 - Titre et icône.
 - Catégorie 1 (radio button bleue).
 - Catégorie 2 (radio button gris).
 - Catégorie 3 (radio button gris).
 - Catégorie 4 (radio button gris).
 - Catégorie 5 (radio button gris).
- Section de droite (Formulaire de saisie) :**
 - Recherche (entrée de texte et bouton à profil).
 - Prenom Nom (entrée de texte avec placeholder et bouton à profil).
 - Grille de saisie :

SEXE	NUMÉRO DE PCS	NUMÉRO DE PCS
<input checked="" type="radio"/> Homme	Liste des PCS	NUMERO DE PCS NUMERO DE PCS NUMERO DE PCS NUMERO DE PCS NUMERO DE PCS NUMERO DE PCS NUMERO DE PCS
<input checked="" type="radio"/> Femme		
 - Boutons d'action : "Vérifier les données" et "Soumettre".

Figure 4.2.1-3 Framework par fichiers

Router	Gestion du chargement des pages en fonction de l'URL
Database	Gestion de la connexion à la base de données ainsi que l'accès
Repo	Gestion des requêtes pour la base de données
ManagerError	Gestion des différentes erreurs
MenuManager	Gestion de la création du menu en fonction des permissions
ModuleRequest	Gestion des requêtes de l'API
ModuleResponse	Gestion des réponses de l'API
ResourceDispatcher	Gestion du chargement des ressources (images, design, librairies, etc)
sessionManager	Gestion de la sécurité des sessions
lightdb	Système d'accès aux données optimisé pour le projet

Figure 4.2.1-4 Page de gestion des utilisateurs

The screenshot shows the 'Gestion des utilisateurs' (User Management) page of the SOCIOVIEW application. The interface is in French. On the left, there is a sidebar with navigation links: Tableau de bord, Acquisition, Graphiques, Données, Paramètres (selected), Gestion des tokens, and Gestion des utilisateurs. The main content area has a title '- GESTION DES UTILISATEURS -'. It displays a table of users with columns for Identifier, Adresse mail, Mot de passe, Vérification du mot de passe, and Droits (with options Sujet and Administrateur). There is also a field for Identifiant d'étude (optional). A 'Créer un utilisateur' button is at the bottom of the form. Below the form, there is a list of existing users:

- Identifier: julien.figac, Adresse mail: julien.figac@gmail.com, Administrateur, Supprimer
- Identifier: Buser, Adresse mail: B@gmail.com, SUJET, Supprimer
- Identifier: Auser, Adresse mail: A@gmail.com, SUJET, Supprimer
- Identifier: Cuser, Adresse mail: C@gmail.com, Administrateur, Supprimer

Figure 4.2.1-5 Page de connexion

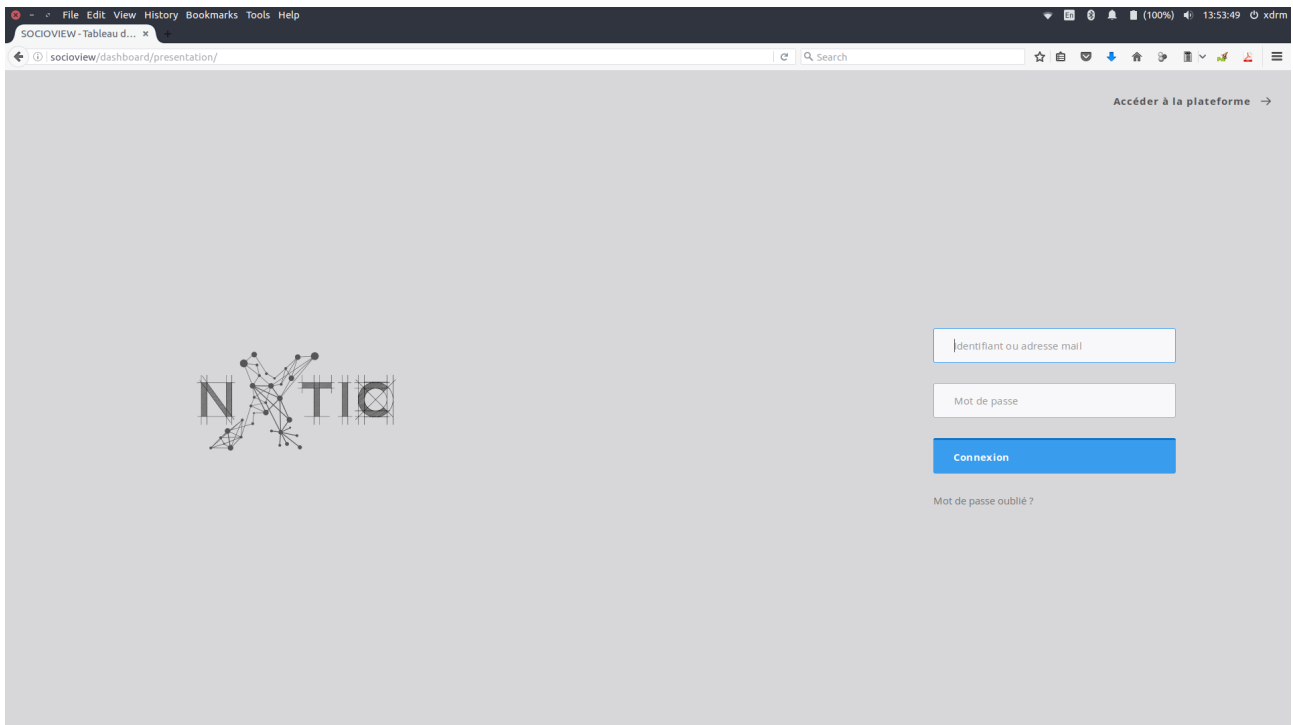


Figure 4.2.3-1 Benchmark de *lightdb*

Analyse de performances - `lightdb` - Introduction

PRÉSENTATION	
Ce document représente l'étude des performances du système de données développé pendant le stage.	

FEUILLES	
Performances	Résultats des différents tests
Individual Speed	Temps d'exécution de chaque requête
Cluster Speed	Temps d'exécution de chaque requête en regroupant les requêtes en une seule
Cluster Insert	Différence de temps d'exécution entre les requêtes individuelles et groupées d'insertion
Cluster Fetch	Différence de temps d'exécution entre les requêtes individuelles et groupées d'accès
Cluster Delete	Différence de temps d'exécution entre les requêtes individuelles et groupées de suppression

Analyse de performances - `lightdb` - Performances

Action	Sample	Length (char)	Total length (char)	Total time (sec)	Unit time (sec)	Character / sec	Unit time (ms)	Character / ms	Remarques	CLUSTER
Insertion low	1000	201	201000	20.996263	0.0002939562	6.799999999999999	29.0996263	0.1099525649	L'écriture d'est l'opération la plus longue, dans le projet, j'avoue énormément de données, mais une seule requête (un peu que je parse)	Cluster Insertion low
Insertion low	1000	201	201000	20.895501	0.0002889501	6.999999999999999	20.895501	0.091537201199		Cluster Insertion low
Insertion low	1000	201	201000	34.2880249	0.00342880249	5.9991705871885	34.2880249	0.1755871886		Cluster Insertion low
Insertion low (x3)	3000	603	1809000	91.1264379	0.03708679321	19.99999999999999	31.17687931	0.000052382016	donc le temps est négligeable	Cluster Insertion low
Insertion middle	1000	2181	2181000	46.36179194	0.00436179194	4.999999999999999	46.36179194	0.000204529326		Cluster Insertion middle
Insertion middle	1000	2181	2181000	48.26161407	0.00526161407	4.00001790161513	49.02161407	0.0781915181		Cluster Insertion middle
Insertion middle	1000	2181	2181000	36.12266707	0.00512266707	5.0000161309285	35.12266707	0.05161039265		Cluster Insertion middle
Insertion middle (x3)	3000	6543	19629000	118.5114751	0.03950382503	19.99999999999999	39.55382503	0.00006037579691		Cluster Insertion middle
Insertion high	1000	23781	23781000	42.56369365	0.04256369365	5.00001799311498	42.56369365	0.00001799311498		Cluster Insertion high
Insertion high	1000	23781	23781000	42.88182902	0.04288182902	5.00001803197049	42.88182902	0.00001803197049		Cluster Insertion high
Insertion high	1000	23781	23781000	65.3991108	0.0653991108	3.599999999999999	65.3991108	0.00002749635719		Cluster Insertion high
Insertion high (x3)	3000	71343	214029000	150.573908	0.05027910023	19.99999999999999	50.27910023	0.000747516962		Cluster Insertion high
INSERTION (CLUSTERIZATION)										
Cluster Insertion low	1000	201	201000	0.01045703888	0.00001045703888	20.00005202506905	0.01045703888	0.000005202506905	Et donc le même principe en utilisant une requête d'agrégation (freq au lieu de 1000)	Cluster Fetching low
Cluster Insertion low	1000	201	201000	0.009452014568	0.00009452014568	20.0000470253956	0.009452014568	0.00000470253956		Cluster Fetching low
Cluster Insertion low	1000	201	201000	0.008866071701	0.00008866071701	20.0000410980946	0.008866071701	0.00000410980946		Cluster Fetching low
Cluster Insertion low (x3)	3000	603	1809000	0.02877521515	0.0000951728384	19.99999999999999	0.0000951728383	0.0000001906969715		Cluster Fetching middle
Cluster Insertion middle	1000	2181	2181000	0.020729968	0.000020729968	19.99999999999999	0.020729968	0.000009515317194		Cluster Fetching middle
Cluster Insertion middle	1000	2181	2181000	0.002235603333	0.00002235603333	19.99999999999999	0.002235603333	0.000002235603333		Cluster Fetching middle
Cluster Insertion middle	1000	2181	2181000	0.02141904831	0.00002141904831	19.99999999999999	0.02141904831	0.00000920746588		Cluster Fetching middle
Cluster Insertion middle (x3)	3000	6543	19629000	0.0645279843	0.00002150932948	19.99999999999999	0.000000287380327	0.02150932948		Cluster Fetching high
Cluster Insertion high	1000	23781	23781000	17424898338	0.000017424898338	13.0000073233245	17424898338	0.0000073233245		Cluster Fetching high
Cluster Insertion high	1000	23781	23781000	0.1706171036	0.0001706171036	13.00000717451347	0.1706171036	0.00000717451347		Cluster Fetching high
Cluster Insertion high	1000	23781	23781000	0.171669013	0.000171669013	13.00000719919319	0.171669013	0.0000072119919319		Cluster Fetching high
Cluster Insertion high (x3)	3000	71343	214029000	0.516529587	0.0001721767462	19.99999999999999	0.1721767462	0.00000241351842		Cluster Deleting low
FETCHING (Basic access)										
Fetching low	1000	201	201000	0.0954108665	0.0000954108665	20.00002013108688	0.0954108665	0.000002013108688		Cluster Deleting middle
Fetching low	1000	201	201000	0.0610710136	0.0000610710136	20.000020094321132	0.0610710136	0.0000020094321132		Cluster Deleting middle
Fetching low	1000	201	201000	0.0485503054	0.0000485503054	20.000020061669828	0.0485503054	0.0000020061669828		Cluster Deleting middle
Fetching low (x3)	3000	603	1809000	0.1671191196	0.0000557309719	19.99999999999999	0.0000557309719	0.0000001948823007		Cluster Deleting middle
Fetching middle	1000	2181	2181000	0.2723371983	0.00002723371983	19.99999999999999	0.2723371983	0.000002723371983		Cluster Deleting middle
Fetching middle	1000	2181	2181000	0.2405702703	0.00002405702703	19.99999999999999	0.2405702703	0.000002405702703		Cluster Deleting middle
Fetching middle	1000	2181	2181000	0.497508965	0.000497508965	19.99999999999999	0.497508965	0.000002008167843		Cluster Deleting middle
Fetching middle (x3)	3000	6543	19629000	1.01405302	0.0003468317073	19.99999999999999	0.0003468317073	0.000000147512874		Cluster Deleting middle
Fetching high	1000	23781	23781000	4.162491083	0.004162491083	19.99999999999999	4.162491083	0.00017503431466		Cluster Deleting high
Fetching high	1000	23781	23781000	3.72009926	0.00372009926	19.99999999999999	3.72009926	0.0000541631602		Cluster Deleting high
Fetching high	1000	23781	23781000	5.508944035	0.005508944035	19.99999999999999	5.508944035	0.00002316516169		Cluster Deleting high
Fetching high (x3)	3000	71343	214029000	13.39153504	0.00446349515	19.99999999999999	4.463845015	0.00000256878761		Cluster Deleting high
FETCHING (CLUSTERIZATION)										
Cluster Fetching low	1000	201	201000	0.06311392784	0.00006311392784	20.0000031399641	0.06311392784	0.0000031399641		Cluster Deleting low
Cluster Fetching low	1000	201	201000	0.05664606636	0.00005664606636	20.00000283132655	0.05664606636	0.00000283132655		Cluster Deleting low
Cluster Fetching low	1000	201	201000	0.0588308754	0.000588308754	20.00000293481967	0.0588308754	0.00000293481967		Cluster Deleting low
Cluster Fetching low (x3)	3000	603	1809000	0.1671191196	0.0000557309719	19.99999999999999	0.0000557309719	0.0000001948823007		Cluster Deleting low
Fetching middle	1000	2181	2181000	0.2723371983	0.00002723371983	19.99999999999999	0.2723371983	0.000002723371983		Cluster Deleting middle
Fetching middle	1000	2181	2181000	0.2405702703	0.00002405702703	19.99999999999999	0.2405702703	0.000002405702703		Cluster Deleting middle
Fetching middle	1000	2181	2181000	0.497508965	0.000497508965	19.99999999999999	0.497508965	0.000002008167843		Cluster Deleting middle
Fetching middle (x3)	3000	6543	19629000	1.01405302	0.0003468317073	19.99999999999999	0.0003468317073	0.000000147512874		Cluster Deleting middle
Fetching high	1000	23781	23781000	4.162491083	0.004162491083	19.99999999999999	4.162491083	0.00017503431466	L'accès aux données est le point le plus crucial qui justifie la création de mon système d'accès.	Cluster Deleting high
Fetching high	1000	23781	23781000	3.72009926	0.00372009926	19.99999999999999	3.72009926	0.0000541631602		Cluster Deleting high
Fetching high	1000	23781	23781000	5.508944035	0.005508944035	19.99999999999999	5.508944035	0.00002316516169		Cluster Deleting high
Fetching high (x3)	3000	71343	214029000	13.39153504	0.00446349515	19.99999999999999	4.463845015	0.00000256878761		Cluster Deleting high
FETCHING (CLUSTERIZATION)										
Cluster Fetching low	1000	201	201000	0.06311392784	0.00006311392784	20.0000031399641	0.06311392784	0.0000031399641		Cluster Deleting low
Cluster Fetching low	1000	201	201000	0.05664606636	0.00005664606636	20.00000283132655	0.05664606636	0.00000283132655		Cluster Deleting low
Cluster Fetching low	1000	201	201000	0.0588308754	0.000588308754	20.00000293481967	0.0588308754	0.00000293481967		Cluster Deleting low
Cluster Fetching low (x3)	3000	603	1809000	0.1671191196	0.0000557309719	19.99999999999999	0.0000557309719	0.0000001948823007		Cluster Deleting low
Fetching middle	1000	2181	2181000	0.2723371983	0.00002723371983	19.99999999999999	0.2723371983	0.000002723371983		Cluster Deleting middle
Fetching middle	1000	2181	2181000	0.2405702703	0.00002405702703	19.99999999999999	0.2405702703	0.000002405702703		Cluster Deleting middle
Fetching middle	1000	2181	2181000	0.497508965	0.000497508965	19.99999999999999	0.497508965	0.000002008167843		Cluster Deleting middle
Fetching middle (x3)	3000	6543	19629000	1.01405302	0.0003468317073	19.99999999999999	0.0003468317073	0.000000147512874		Cluster Deleting middle
Fetching high	1000	23781	23781000	4.162491083	0.004162491083	19.99999999999999	4.162491083	0.00017503431466	L'accès à ce niveau est donc atteint	Cluster Deleting high
Fetching high	1000	23781	23781000	3.72009926	0.00372009926	19.99999999999999	3.72009926	0.0000541631602		Cluster Deleting high
Fetching high	1000	23781	23781000	5.508944035	0.005508944035	19.99999999999999	5.508944035	0.00002316516169		Cluster Deleting high
Fetching high (x3)	3000	71343	214029000	13.39153504	0.00446349515	19.99999999999999	4.463845015	0.00000256878761		Cluster Deleting high

Analyse de performances - `lightdb` - Performances

Cluster Fetching low (x3)	3000	603	1809000	0,1790630817	0,000059647691591	0,000000989456702	0,05948763911	0,00000989456702
Cluster Fetching middle	1000	2181	2181000	0,4761519432	0,00007619174932	0,000000183171766	0,4761519432	0,00021831817766
Cluster Fetching middle	1000	2181	2181000	0,5271540255	0,00002711549255	0,0000002115492515	0,5271540255	0,0002417033115
Cluster Fetching middle	1000	2181	2181000	0,5115008354	0,0005115008354	0,0000002451580315	0,5115008354	0,000234525801
Cluster Fetching middle (x3)	3000	6543	19629000	1,514897701	0,0000549359004	0,000000771719245	0,504039904	0,0000771719245
Cluster Fetching high	1000	23781	23781000	5,516381025	0,00516381025	0,0000002119658982	5,516381025	0,0002319658982
Cluster Fetching high	1000	23781	23781000	5,5161707897	0,00516077897	0,000000219796433	5,5161707897	0,0002319796433
Cluster Fetching high	1000	23781	23781000	5,591167927	0,005591167927	0,0000002351107156	5,591167927	0,0002351107156
Cluster Fetching high (x3)	3000	71343	214029000	16,62425685	0,00554141895	0,000000767291745	5,544141895	0,0000767291745
DELETING								
Deleting low	10	201	2010	5,351806164	0,5351806164	0,002662590131	535,1806164	2,662590131
Deleting low	10	201	2010	4536841154	0,4536841154	0,00257134903	4536841154	2,257134903
Deleting low	10	201	2010	5,5040124903	0,5040124903	0,00275642433	5,5040124903	2,75642433
Deleting low (x3)	30	603	180900	15,42906022	0,5143020074	0,000852054848	514,3020074	0,852054848
DELETING (CLUSTERIZED)								
Deleting middle	10	2181	21810	6,332051039	0,6332051039	0,000903278789	633,051039	0,293278789
Deleting middle	10	2181	21810	4,98417592	0,48417592	0,000228527094	4,98417592	0,228527094
Deleting middle	10	2181	21810	5,572006941	0,572006941	0,00025549653	557,2006941	0,25549653
Deleting middle (x3)	30	6543	196290	16,8823239	0,56294113	0,0000860371588	562,34113	0,0860371588
Deleting high	10	23781	237810	5,50739067	0,550739067	0,0000231602506	550,739067	0,0231602506
Deleting high	10	23781	237810	5,34895073	0,534895073	0,0000224920509	534,895073	0,024920509
Deleting high	10	23781	237810	4,154067012	0,4154067012	0,0000174679402	415,4067012	0,0174679402
Deleting high (x3)	30	71343	2140290	15,0196815	0,500356384	0,00000713386575	500,356384	0,007013386575
DELETING (CLUSTERIZED)								
Cluster Deleting low	1000	201	201000	0,0552341461	0,0000552341461	0,00000245489249	0,8552341461	0,000245489249
Cluster Deleting low	1000	201	201000	2,361701608	0,002361701608	0,0000117505875	2,361701608	0,0017505875
Cluster Deleting low	1000	201	201000	1,593364	0,001593364	0,00000797124081	1,593364	0,000797124081
Cluster Deleting low (x3)	3000	603	1809000	4,10139955	0,00410139955	0,00000291978564	1,604432318	0,0002919785644
Cluster Deleting middle	1000	2181	2181000	0,980751179	0,000980751179	0,0000049490563	0,980751179	0,00049490563
Cluster Deleting middle	1000	2181	2181000	1,273293018	0,001273293018	0,00000538115627	1,273293018	0,000538115627
Cluster Deleting middle	1000	2181	2181000	0,9947180748	0,0009947180748	0,00000405603823	0,9947180748	0,000405603823
Cluster Deleting middle (x3)	3000	6543	19629000	3,24876211	0,001082328737	0,00000165509512	1,082328737	0,000165509512
Cluster Deleting high	1000	23781	2378100	0,462346077	0,000462346077	0,000001944182654	0,462346077	0,0001944182654
Cluster Deleting high	1000	23781	2378100	0,598180556	0,00598180556	0,0000025153694	0,598180556	0,00025153694
Cluster Deleting high	1000	23781	2378100	0,4945261478	0,004945261478	0,00000279501068	0,4945261478	0,000279501068
Cluster Deleting high (x3)	3000	71343	214029000	1,5559523	0,000518350701	0,000000725614849	0,518350701	0,000000725614849

L'accès aux données est le point le plus crucial qui justifie la création de mon système d'accès.

L'objectif à ce niveau est donc atteint

Nécessite la ré-écriture du fichier complet sans la ligne à supprimer.

Il trouvera meilleure solution

car très très très très très très très très très

fastidieux

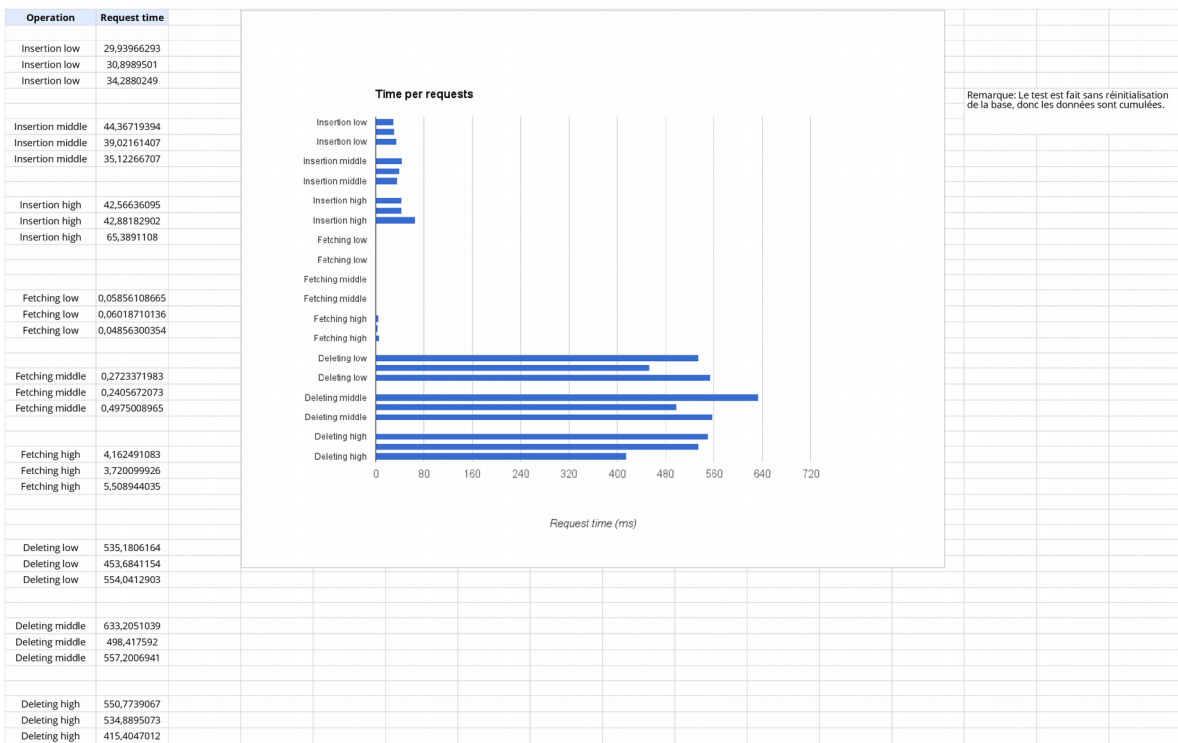
mais jamais utilisé dans le projet

En regroupant les résultats, on obtient un temps tout à fait raisonnable. Il faudrait implémenter un système

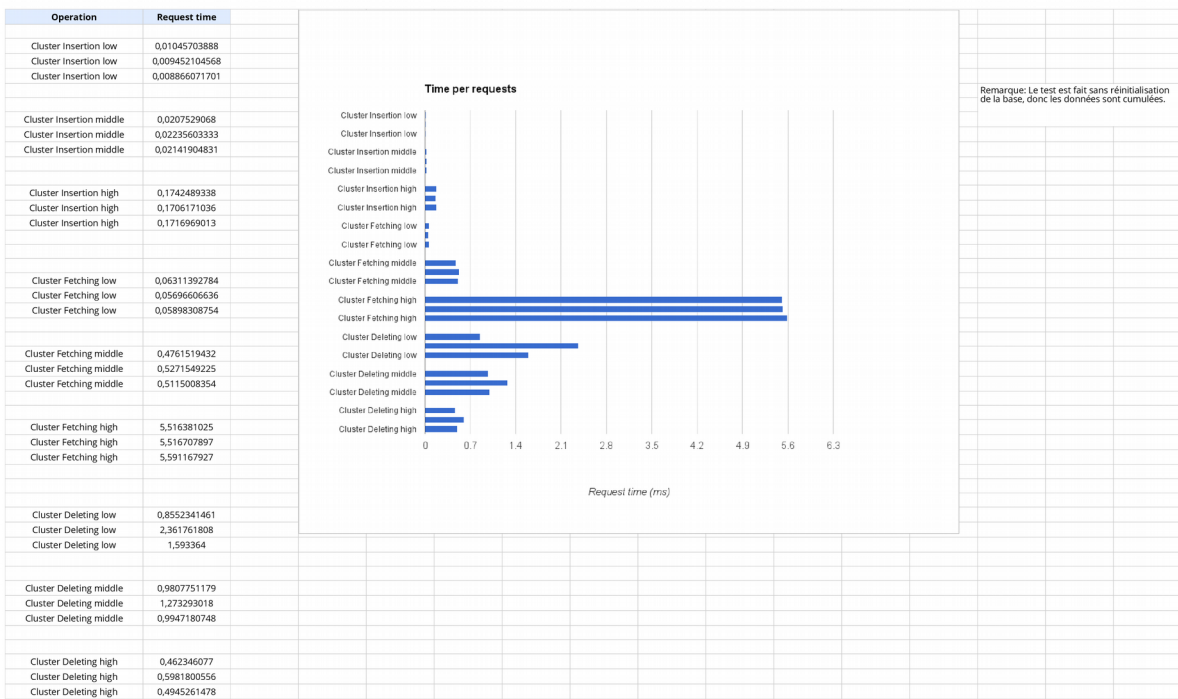
de cache, puis valider (comme) les données

et regrouper les superpositions

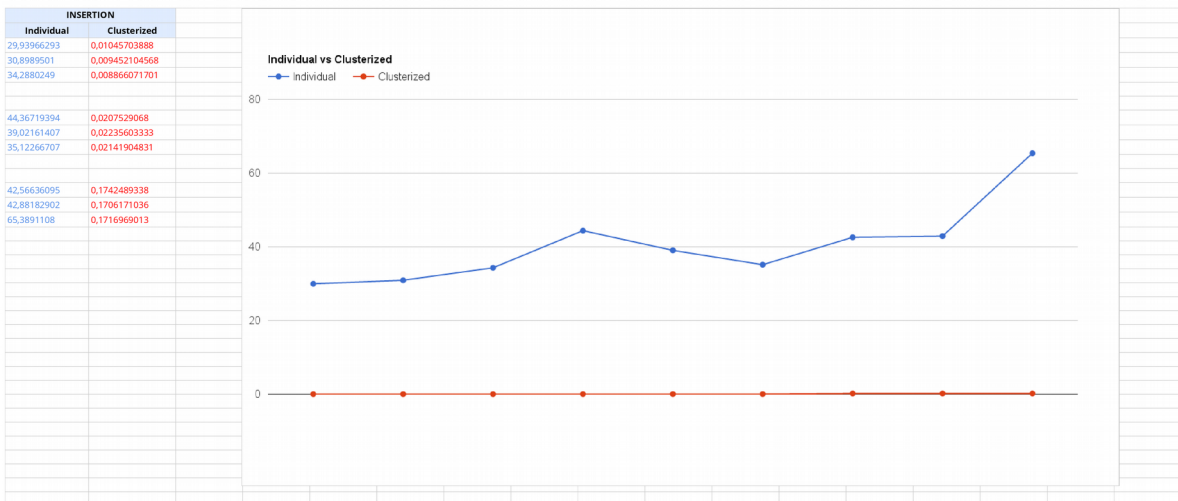
Analyse de performances - `lightdb` - Individual Speed



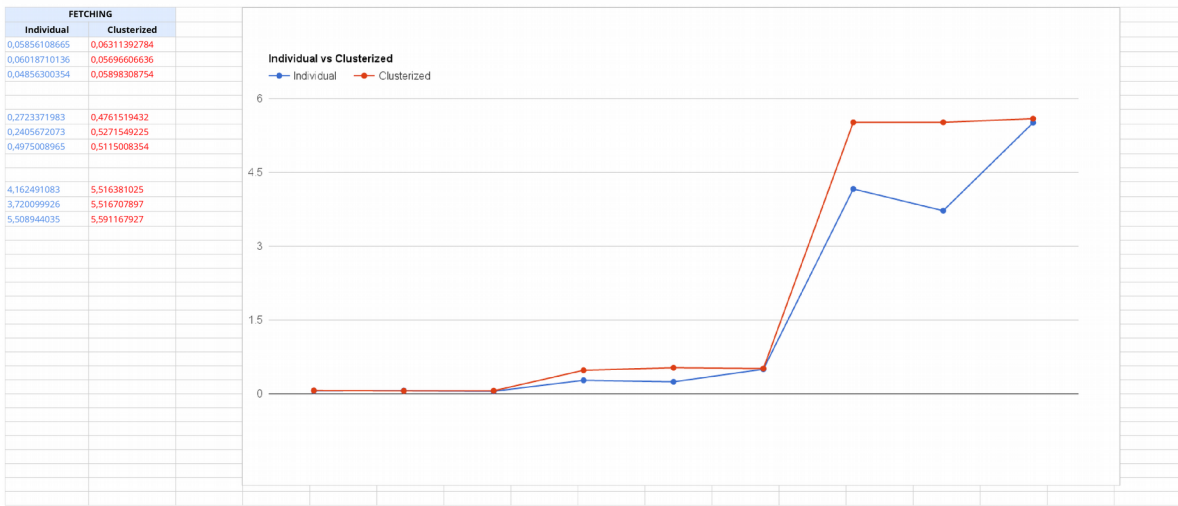
Analyse de performances - `lightdb` - Cluster Speed



Analyse de performances - `lightdb` - Cluster Insert



Analyse de performances - `lightdb` - Cluster Fetch



Analyse de performances - `lightdb` - Cluster Delete

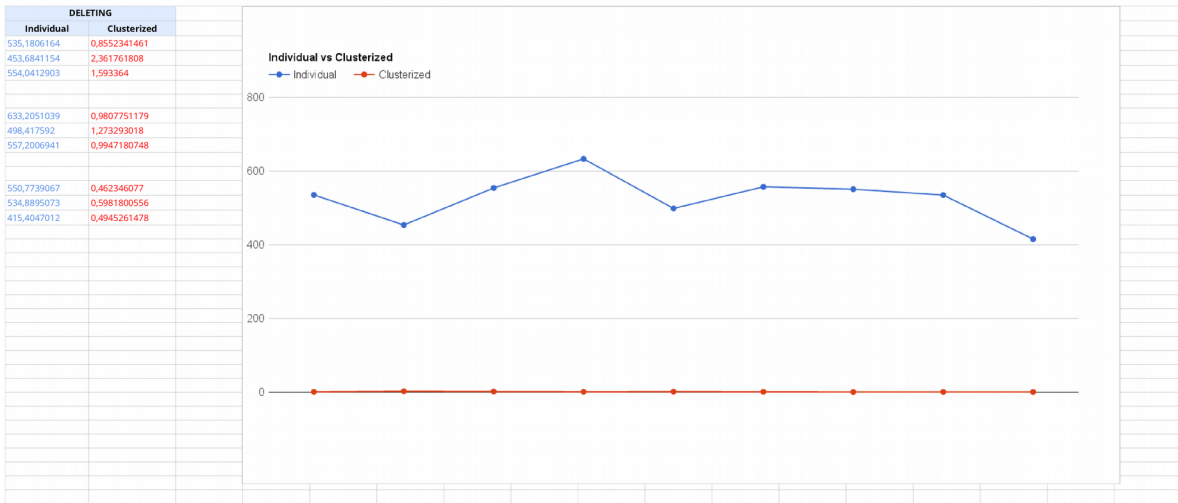
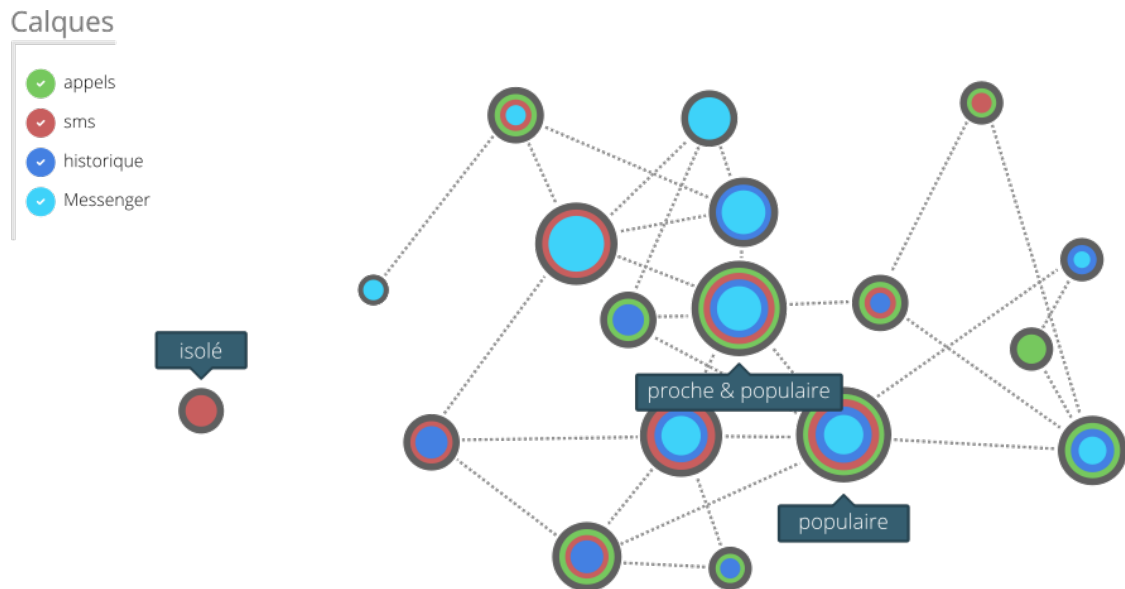


Figure 4.2.4-1 Prototype du graphique de type *réseau*

Ci-dessous le prototype élaboré suite aux discussions avec les chercheurs. Il fonctionne sur le principe de superposition de calques. Il est possible de cocher ou décocher les différents calques afin de filtrer les données.



Chaque **cercle** représente une personne définie par le sujet dans un des quatre « top 10 » de l'enquête. Les **couleurs** dans les **cercles** sont associées aux types de communication, les couleurs sont données dans le panneau "*Calques*" qui se situe à gauche. Les **pointillés** représente les liens entre les personnes qui se connaissent.

Figure 4.2.4-2 Visualisation des données d'un sujet

